

بررسی اثرات تغییر اقلیم بر زمان رخداد آستانه زیستی و مرحله گل‌دهی درخت انگور در ایران

طیبه شجاعی^{*}- دانشجوی دکتری اقلیم‌شناسی کشاورزی، دانشکده جغرافیا و علوم محیطی، دانشگاه حکیم سبزواری، سبزوار، ایران
غلام‌عباس فلاح قالهری^{*} - دکتری اقلیم‌شناسی، دانشیار گروه ژئومورفولوژی و اقلیم‌شناسی، دانشکده جغرافیا و علوم محیطی، دانشگاه حکیم سبزواری، سبزوار، ایران
عبدالرضا کاشکی - دکتری اقلیم‌شناسی، استادیار گروه ژئومورفولوژی و اقلیم‌شناسی، دانشکده جغرافیا و علوم محیطی، دانشگاه حکیم سبزواری، سبزوار، ایران

تاریخ دریافت: ۱۳۹۸/۱۱/۱۶ تاریخ پذیرش: ۱۳۹۸/۰۴/۱۳

چکیده

درختان میوه، بدلیل ساختار بیولوژیکی شان، به تغییرات آب و هوایی حساسیت بسیار زیادی دارند. مطالعه حاضر در دو دوره گذشته (۱۹۸۵-۲۰۰۵) و دوره آینده (۲۰۲۰-۲۰۶۰) بررسی شد. در دوره آینده از مدل‌های BCC-^{*}، MIROC-ESM، GFDL-CM3، MRI.CGCM3، CSM1.1، GISS-E2-R، MarksImGCM در خط سیر سناریوهای RCP8.5 و RCP4.5 استفاده شد. نتایج نشان داد مدل MRI.CGCM3 از وزن و توانایی پیشتری در شبیه‌سازی آینده نسبت به دیگر مدل‌ها برخوردار است. در مناطق کشت درخت انگور در ایران به طور متوسط دمای کمینه در خط سیرهای واداشتی RCP8.5 و RCP4.5 در دوره‌های ۲۰۵۵-۲۰۶۰ و ۲۰۹۰-۲۰۵۶ به ترتیب ۱/۶ و ۱/۲ درجه سانتی‌گراد نسبت به دوره پایه افزایش خواهد یافت. با توجه به افزایش دمای هوا، زمان رخداد آستانه زیستی و مراحل فنولوژیکی درخت انگور در دوره آینده نسبت به دوره گذشته در زمان جلوتری تکمیل خواهد شد؛ به طوری که در الگوی واداشتی بدینانه، زمان رخداد آستانه زیستی در آینده میانی و دور ۸ تا ۱۶ روز و زمان گل‌دهی نیز ۶ تا ۱۶ روز، جلوتر رخ خواهد داد. بنابراین، یکی از اثرهای عمده تغییر اقلیم در قالب تغییر رخداد مرحله فنولوژیکی گل‌دهی درختان میوه ظاهر خواهد شد.

واژگان کلیدی: ایران، انگور، تغییر اقلیم، سناریوهای RCP، CMIP5

مقدمه

کشاورزی یکی از بخش‌های مهم اقتصادی است که تغییر اقلیم می‌تواند اثرهای بزرگی در آن ایجاد کند و رشد محصولات و در نتیجه بهره‌وری را تحت تأثیر قرار دهد. از آنجا که فعالیتهای کشاورزی تأمین غذا را تضمین می‌کند و منبع مهم درآمد برای اقتصادهای محلی است، بررسی اثرهای تغییر اقلیم از اهمیت ویژه‌ای برخوردار است، زیرا می‌تواند ورودی علمی لازم را برای برنامه‌ریزی صحیح و راهبردهای سازگاری با تغییر اقلیم آینده فراهم آورد (جورجیولو، ۱۶۴: ۲۰۱۷). در سطح جهانی، کشاورزی با چالش سه‌گانه افزایش تولید برای رفع نیاز فزاینده مواد غذایی، سازش با تغییر شرایط اقلیمی، و کاهش انتشار گازهای گلخانه‌ای کشاورزی روبه‌روست (سپکوتا و همکاران، ۲۰۱۹: ۱۳۴۲). در طی پنجاه سال گذشته، افزایش تولید محصولات کشاورزی برای تأمین مواد غذایی جمعیت در حال رشد به تقریباً دوباره‌شدن میزان انتشار گازهای گلخانه‌ای از کشاورزی، جنگل‌داری، و شیلات منجر شده است (اسمیت و همکاران، ۲۰۱۴: ۸۱۶). با بررسی و مطالعات فنولوژیکی می‌توان تاریخ و زمان گذر مراحل فنولوژیکی را در هر منطقه مشخص و از هدررفت منابع و سرمایه جلوگیری کرد (فلاخ قالهری و احمدی، ۱۳۹۶: ۵۷). تغییر اقلیم تولید محصولات کشاورزی و امنیت غذایی جهان را به مخاطره خواهد انداخت.

بسیاری از مناطق خشک و نیمه‌خشک خاورمیانه دارای رشد سریع جمعیت است و تأمین نیازهای روزافزون مواد غذایی به تولیدات باغی بستگی دارد و ارزیابی پیش‌بینی تغییرات آب و هوا بر تولیدات و محصولات باغی در آینده ضروری شده است (احمدی، ۱۳۹۶: ۴۱). آب و هوا عاملی کنترل‌کننده برای توزیع جغرافیایی گیاهان بومی و محصولات کشت‌شده بهشمار می‌رود (پارکر و اباتزوگلو، ۲۰۱۸: ۲). گرم شدن کره زمین، که در اثر افزایش گازهای گلخانه‌ای و قطع جنگل‌ها و استفاده زیاد از مراتع بوده است، نیز تغییراتی در سازش‌پذیری گیاهان و میزان فتوسنتز آن‌ها، افزایش فساد‌پذیری مواد آلی، تغییر الگوی بارندگی و پیدایش خشکی، گرد و غبار، فرسایش خاک، تأثیر نامطلوب بر منابع آب، غذا، و زیست‌بوم‌ها ایجاد کرده است (صمدی یزدی، ۱۳۹۶: ۱۵). تولید کشاورزی در آینده بسیار متفاوت‌تر از شرایط گذشته خواهد بود و تغییرات آب و هوایی چالش عمده در این زمینه خواهد بود. تغییر اقلیم می‌تواند اثرهای بالقوه‌ای در کشاورزی داشته باشد؛ بهطور نمونه، تغییر محدوده‌های جغرافیایی کشت درختان میوه، کاهش عملکرد و تغییر زمان رخداد مراحل فنولوژیکی جزو مهم‌ترین اثرهای تغییر آب و هوا بر بخش درختان میوه بهشمار می‌رود (ماچیونا و فیلی، ۲۰۱۳).

دماه‌ها شاخص مهمی برای تغییرات اقلیمی سطح زمین بهشمار می‌رود (زاو و همکاران، ۲۰۱۵). دماه‌ها اغلب عمده‌ترین فاکتور مؤثر بر فازهای فنولوژیکی درختان میوه در اقلیم‌های معتدل بهشمار می‌رود (گرب و کاپرو، ۲۰۱۱). محسوس شدن آثار تغییر اقلیم در زندگی روزمره جوامع در نقاط مختلف دنیا باعث افزایش توجه عمومی به مسئله تغییر اقلیم شده است (قهرمان و همکاران، ۱۳۹۵: ۶۳). بررسی‌های هیئت بین‌الدول تغییر اقلیم در گزارش پنجم نشان داد که میانگین دماه جهانی در دوره ۲۰۱۸ تا ۲۱۰۰ درجه سانتی‌گراد و براساس سناریوی RCP4.5، ۰/۵ تا ۱/۸ درجه سانتی‌گراد و براساس سناریوی RCP8.5، ۰/۷ تا ۳/۷ درجه سانتی‌گراد نسبت به دوره ۱۹۸۶-۲۰۰۵ افزایش خواهد یافت (ونگ و همکاران، ۲۰۱۵).

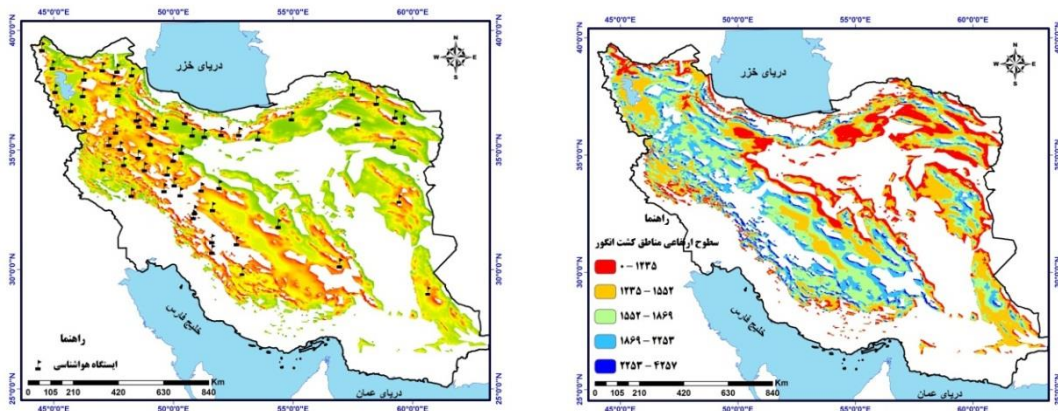
درخت انگور به نام مو یا تاک شناخته می‌شود. مو گیاهی از تیره *Ampelidaceae* است. گیاهان این تیره درختچه‌های هستند با ساقه‌های گره‌دار، و با توجه به پیچک‌هایی که دارند بالارونده‌اند. منشأ اصلی تاک آسیایی- اروپایی به نام ویتیس وینی فرا آسیای صغیر است. انگور گیاهی رونده است که ارتفاع آن به ۱۵-۱۰ متر می‌رسد. طول دوره رشد آن بین ۵-۶ ماه است. انگور بومی مناطق معتدل نیمه‌گرمسیری است و ارقام مختلف آن از مناطق سردسیر کشور تا معتدل نیمه‌گرمسیری پرورش دادنی است (زرین و فراهانی، ۱۳۹۴: ۱۳۵). انگور به گروه میوه‌های دانه‌ریز تعلق دارد و از نظر میزان تولید جزو مهم‌ترین میوه‌ها در دنیا و ایران است (خوشخوی و همکاران، ۱۳۸۷: ۳۴۱). همچنین، از نظر غذایی و اشتغال‌زایی نیز جزو مهم‌ترین درختان میوه و محصولات در ایران بهشمار می‌رود. در ایران، براساس آمار وزارت جهاد کشاورزی، درخت انگور ۲۹۴۲۴۹ هزار هکتار از کاربری باغات را به خود اختصاص می‌دهد. از این سطح زیر کشت، ۳۱۶۷۴۳۷ میلیون تن انگور در کشور تولید می‌شود (احمدی و همکاران، ۱۳۹۵: ۸).

دگرگونی آب و هوا و پیامدهای آن از جوانب مختلف بر کره زمین بر کسی پوشیده نیست. هر گونه تغییر در ابر دستگاه جو تغییرات جدی برای شرایط زیستی انسان، گیاهان، و جانوران همراه خواهد داشت. امروزه، معرض تغییر اقلیم و اثرهای آن مهم‌ترین چالش پیش رو در کشور در بخش باغبانی است، زیرا بخش باغبانی و درختان میوه، به عنوان یکی از منابع عمدۀ اقتصاد کشاورزی و اشتغال‌زایی در کشور، در معرض دگرگونی آب و هوایی قرار دارد. با توجه به اهمیت محصول انگور در اقتصاد کشور، ضرورت بررسی اثرهای تغییر اقلیم بر این درخت در کشور حائز اهمیت است. بنابراین، در مطالعه حاضر با هدف آشکارسازی اثرهای تغییرات اقلیمی بر زمان رخداد مرحله فنولوژیکی گل‌دهی درخت انگور در ایران براساس برونداد مدل‌های جدید CMIP5 و سناریوهای واداشت تابشی (RCP) بررسی شده است.

مواد و روش‌ها

منطقه مورد مطالعه

قلمرو مکانی تحقیق حاضر مناطق کشت درخت انگور در ایران است. مناطق عمده کشت درخت انگور در ایران در مناطق مرتفع و سردسیر نیمة شمالی، غربی، و شرقی کشور واقع شده‌اند (احمدی و همکاران، ۱۳۹۵: ۷). ماهیت درخت انگور به عنوان یک درخت خزان‌کننده موجب شده تا مناطق کشت این درخت بیشتر مناطق مرتفع و کوهستانی را پوشش بدهد. در تحقیق حاضر، با روش آماری- تحلیلی، از دو نوع داده متناسب با هدف و محتوای تحقیق استفاده شد. داده دوره پایه یا گذشته براساس آمار واقعی ۵۵ ایستگاه هواشناسی در مناطق کشت درخت انگور از سازمان هواشناسی کشور تهیه و استخراج شده است (شکل ۱). این داده مشاهداتی دوره آماری (۱۹۸۵-۲۰۰۵) را دربر می‌گیرد. داده دوره آینده، به عنوان داده شبیه‌سازی شده، مبتنی بر برون‌داد مدل‌های CMIP5 است. این داده در دو خط سیر واداشتی RCP8.5 و RCP4.5 از سال ۲۰۲۰ تا ۲۰۹۰ پردازش شده است. داده دوره آینده به دوره‌های آینده میانی (۲۰۲۰-۲۰۵۵) و آینده دور (۲۰۵۶-۲۰۹۰) برای پردازش‌های نهایی و مقایسه با دوره پایه تقسیم شد.



شکل ۱. مناطق کشت درخت انگور در ایران و موقعیت جغرافیایی ایستگاه‌های هواشناسی مورد مطالعه (شکل سمت چپ)، وضعیت ارتفاعی مناطق کشت درخت انگور ایران براساس (شکل سمت راست)

از آنجا که برون‌داد مدل‌های گردش کلی جو قابلیت لازم را برای بعد محلی ندارند، برای جبران این نقصیه، باید از روش‌های ریزمقیاس‌گردانی استفاده شود. ریزمقیاس‌گردانی مطمئن به دردسترس بودن داده‌های تاریخی معتبر اقلیمی بستگی دارد (جونز و تورنتون، ۲۰۱۳). در این راستا، برای شبیه‌سازی اقلیم دوره آینده، از داده‌های ریزمقیاس‌شده پایگاه داده^۱ MarkSIMGCM با تفکیک شبکه‌ای ۰/۵ در ۰/۵ درجه، براساس خروجی مدل‌های AOGCM تحت ساناریوهای واداشت تابشی^۲، در دو خط سیر ۸/۵ و ۴/۵ وات بر متر مربع، استفاده شد. پایگاه داده مذکور، با سازوکاری مبتنی بر وب، با استفاده از مدل تصادفی مرتبه سوم مارکوف داده‌های بارش و براساس رویکرد ریچاردسون (۱۹۸۱) داده‌های دمای کمینه و بیشینه و تابش آفتاب در مقیاس روزانه را ریزگردانی می‌کند (احمدی، ۱۳۹۶؛ احمدی و همکاران، ۱۳۹۸؛ ۱۸۰). این پایگاه داده برای ریزمقیاس‌گردانی دوره ۱۹۶۱-۱۹۹۰ را به عنوان دوره تاریخی درنظر می‌گیرد. براساس ۱۷ مدل AOGCM از سری مدل‌های CMIP5^۳ و براساس گزارش

1. <http://gisweb.ciat.cgiar.org/marksimgcm>

2. Representative Concentration Pathways (RCP)

3. Coupled Model Intercomparison Project Phase 5 (CMIP5)

پنجم تغییر اقلیم (۲۰۱۳) تحت عنوان سناریوهای واداشت تابشی (RCP) به شبیه‌سازی داده دوره آینده از ۲۰۱۰ تا ۲۰۹۵ اقدام می‌کند. این پایگاه داده از آنجا که مبتنی بر وب است، برای کلیه نقاط کره زمین به راحتی قابل دسترس است (احمدی، ۱۳۹۶: ۱۲۳؛ احمدی و همکاران، ۱۳۹۷: ۳۶). مدل‌هایی که در این پایگاه تعییه شده‌اند جزو مناسب‌ترین مدل‌ها از نظر سلول محاسباتی یا تفکیک مکانی محسوب می‌شوند. این پایگاه با ارائه داده‌های ریزمقیاس شده از تغییر اقلیم آینده برای مدل‌سازی در مطالعات کشاورزی ابداع شده است (نوری و همکاران، ۲۰۱۷؛ احمدی و همکاران، ۱۳۹۷: ۳۶). برای پایگاه MarkSimGCM یک برنامه فورترن جهت‌دار توسعه داده شده تا براساس روش درون‌یابی Anuspline به ریزمقیاس‌گردانی پردازد. در این پایگاه کاربر با انتخاب محل مورد نظر (برنامه قابلیت فراهم‌سازی برای هر نقطه از کره زمین، برای دسترسی به نرم‌ال، داده‌های اقلیم آینده را داراست) و انتخاب یکی از مدل‌های گردش کلی جو و یکی از چهار خط سیر سناریوهای واداشت تابشی به داده ریزمقیاس شده دست پیدا می‌کند (احمدی، ۱۳۹۶: ۱۵۶؛ احمدی و همکاران، ۱۳۹۷: ۳۷).

از برونداد پنج مدل پیشنهادی (GISS- MIROC-ESM، GFDL-CM3، MRI.CGCM3، BCC-CSM1.1 و E2-R) تحت سناریوهای واداشت تابشی در دو خط سیر واداشتی ۸/۵ و ۴/۵ وات بر متر مربع، با استفاده از داده دوره مشاهده‌ای پایه (۱۹۸۵-۲۰۰۵) انجام شد. نام مدل‌ها، مؤسسه ارائه‌دهنده مدل، و تفکیک افقی مدل‌های مورد مطالعه در جدول ۱ مشخص شده است.

جدول ۱. مشخصات مدل‌های CMIP5 ارزیابی شده در مطالعه حاضر

تفکیک افقی مدل	نام مؤسسه ارائه‌دهنده مدل	نام مدل‌های جوی-اقیانوسی جفت شده
۱/۹ * ۱/۹	مرکز برکنس برای تحقیقات آب و هوا (دانشگاه برگن، نروژ)	BCC-CSM1.1
۱/۳ * ۱/۳	مرکز تحقیقات هواشناسی ژاپن	MRI.CGCM3
۲/۵ * ۲	آزمایشگاه ریوفیزیک و دینامیک شاره‌ها	GFDL-CM3
۲/۸ * ۲/۸	مؤسسه مطالعات جوی و اقیانوسی و علوم زمینی-دریایی و مؤسسه مطالعات علوم محیطی ژاپن	MIROC-ESM
۲/۵ * ۲	مؤسسه مطالعات فضایی گودارد	GISS-E2-R

در مدل‌سازی عدم قطعیت‌هایی وجود دارد که این موارد به علت عدم قطعیت‌های موجود در شرایط اولیه، داده‌های مشاهداتی، و پارامترهای مدل به وجود می‌آیند و عمدتاً ناشی از این واقعیت‌اند که بعضی از فرایندها در سامانه اقلیم به خوبی شناخته نشده‌اند. روش‌های گوناگونی برای کاهش این عدم قطعیت‌ها از طرف هیئت بین‌الدول تغییر اقلیم ارائه شده است (بابائیان و کوهی، ۱۳۹۱: ۹۵۴). استفاده از نتایج مدل‌های گردش کلی جو با تفکیک ۲۰۰ کیلومتر و پایین‌تر در مطالعات محیطی از نتایج بهتری برخوردار است. با توجه به تفکیک مکانی بالای مدل‌های سری CMIP5 در مقایسه با سری CMIP3 (تیرگرفاخی و همکاران، ۱۳۹۶: ۳۵۴)، در مطالعه حاضر از مدل‌های گردش کلی جو ارائه شده در پروژه درون‌مقایسه‌ای مدل‌های جفت شده استفاده شد.

از میان مدل‌های پیشنهادی (GISS- MIROC-ESM، GFDL-CM3، MRI.CGCM3، BCC-CSM1.1 و E2-R) تغییرهای در پایگاه MarkSimGCM، با اعمال روش وزن‌دهی (رابطه ۱) و معیارهای اعتبارسنجی ارائه شده بر روی داده گذشته (۱۹۸۵-۲۰۰۵) و داده برونداد مدل‌ها، مدل مرکز تحقیقات هواشناسی ژاپن (MRI.CGCM3) با تفکیک مکانی ۱.۳ * ۱.۳ به دلیل اختلاف کمتر با داده مشاهده‌ای از توانایی بیشتری برخوردار است.

$$W_{i,j} = \frac{\frac{1}{\Delta F_{i,j}}}{\sum_{i=1}^n (1/\Delta F_{i,j})} \quad (1)$$

در رابطه فوق F متغیر هواشناسی مورد بررسی، ΔF اختلاف بین متغیر شبیه‌سازی شده تحت سناریوهای مختلف با مقدار مشاهداتی در دوره پایه، و W وزن شبیه‌سازی‌های هر مدل گردش عمومی جو برای سناریوی موردنظر است. α وز به ترتیب نشان‌دهنده ماه و مدل گردش عمومی جو است (بابائیان و کوهی، ۱۳۹۱؛ احمدی، ۱۳۹۶؛ ۲۱۰: ۹۵۴).

یافته‌های پژوهش

اعتبارسنجی مدل‌های شبیه‌سازی کننده گردش کلی جو از تغییر اقلیم آینده نتایج اعتبارسنجی و تعیین میزان توانمندی مدل‌های گردش کلی جو با داده دوره گذشته (۱۹۸۵-۲۰۰۵) براساس روش وزن‌دهی در جدول ۲ مشخص شده است. نتایج نشان داد که مدل MRI.CGCM3 با توجه به وزن بالاتر نسبت به دیگر مدل‌های گردش کلی جو پیشنهادشده از توانمندی بیشتری در شبیه‌سازی رفتار دما و بارش در دوره آینده نسبت به دوره پایه برخوردار است. همان‌طورکه در جدول ۱ مشخص شده، مدل مذکور برای دمای کمینه، بیشینه، و بارش به ترتیب از وزنی برابر با $0,39$ ، $0,39$ ، و $0,29$ برخوردار است. بنابراین، از داده‌های مدل مذکور پروژه درون مقایسه‌ای مدل‌های جفت‌شده، بر اساس سناریوهای واداشت تابشی، برای ارزیابی و آشکارسازی اثرهای تغییر اقلیم دوره آینده استفاده شد.

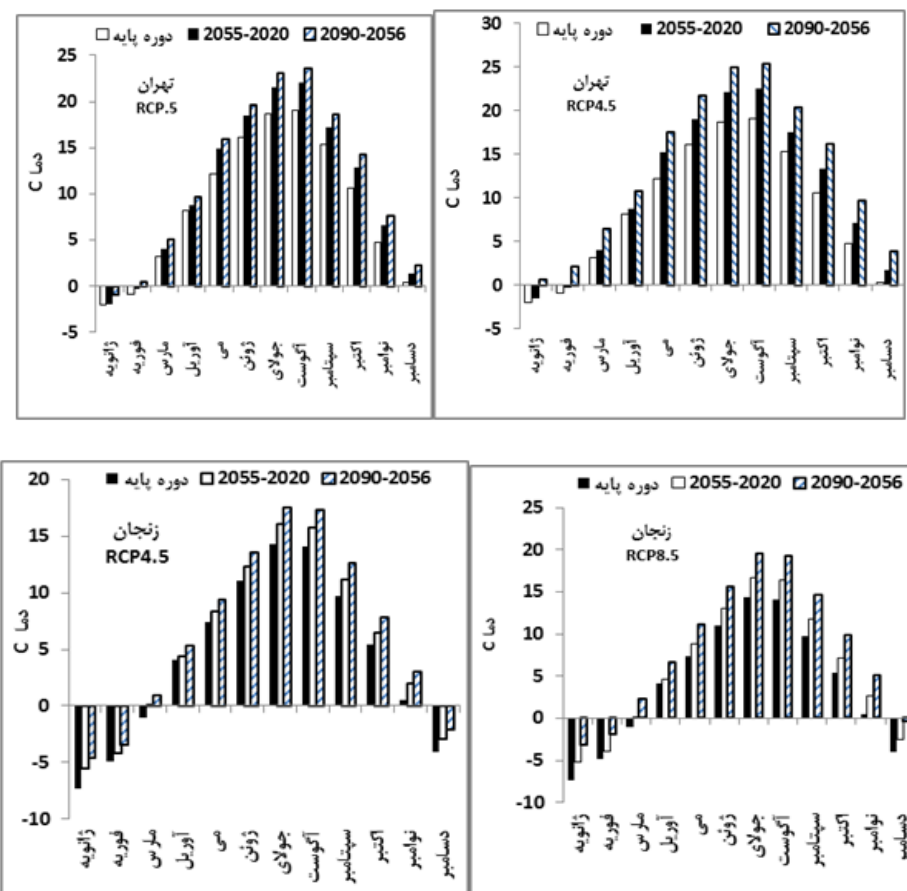
جدول ۲. نتایج اعتبارسنجی مدل‌های گردش کلی جو براساس روش وزن‌دهی در مقایسه با دوره تاریخی (۱۹۸۵-۲۰۰۵)

GISS-E2-R	MIROC-ESM	GFDL-CM3	MRI.CGCM3	BCC-CSM1.1	
۰,۱۹	۰,۲۹	۰,۲۵	۰,۴۰	۰,۳۰	دمای کمینه
۰,۱۷	۰,۱۸	۰,۲۳	۰,۳۹	۰,۲۷	دمای بیشینه
۰,۱۳	۰,۱۹	۰,۱۳	۰,۲۹	۰,۲۶	بارش

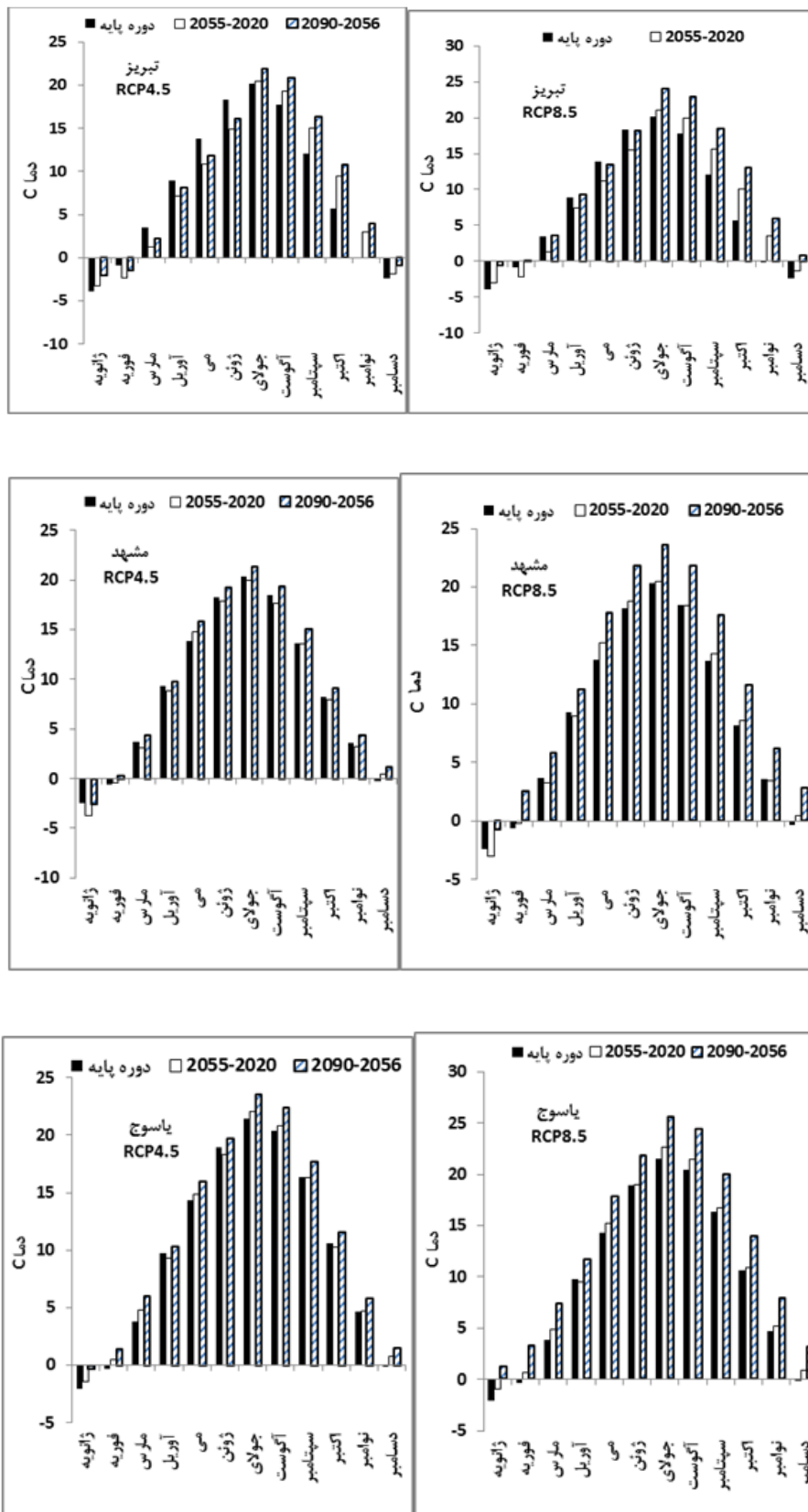
تغییرات دمای ماهانه بر اساس سناریوهای RCP8.5 و RCP4.5 در مناطق کشت درخت انگور در ایران به منظور شناخت بیشتر از وضعیت تغییر اقلیم دوره آینده تا افق ۲۰۹۰ میلادی در مناطق کشت درخت انگور، تغییرات دمای ماهانه دوره آینده نسبت به دوره پایه براساس سناریوی RCP8.5 در مقایسه با دوره پایه به صورت نمایش نموداری در شکل‌های ۲ و ۳ مشخص شده است. با توجه به تعدد بالای ایستگاه‌ها در مناطق کشت درخت انگور، این شرایط برای پنج ایستگاه منتخب در مناطق مختلف کشت درخت انگور (تهران، زنجان، تبریز، مشهد، و یاسوج) مشخص شده است. نتایج نشان داد که میزان دمای هوا در الگوی واداشتی بدینانه و حد وسط به ترتیب RCP8.5 و RCP4.5 نسبت به دوره پایه افزایش خواهد داشت. این میزان افزایش در الگوی بدینانه بیشتر از الگوی حد وسط مشاهده شد. میزان تغییرات در دوره آینده دور (۲۰۵۰-۲۰۹۰) بیشتر از دوره آینده میانی (۲۰۵۵-۲۰۲۰) رخ خواهد داد. مقدار این تغییرات در خط سیر واداشتی RCP8.5 در دوره‌های ۲۰۲۰-۲۰۵۵ و ۲۰۵۵-۲۰۹۰ در سطح ایستگاه‌های منتخب به طور متوسط به ترتیب $1,6$ و $4,2$ درجه سانتی‌گراد و در خط سیر واداشتی RCP4.5 به ترتیب $1,2$ و $2,3$ درجه سانتی‌گراد افزایش نسبت به دوره پایه است. بنابراین، دمای هوا در دوره آینده در مناطق کشت درخت انگور افزایش در خور توجهی خواهد یافت.

نتایج نشان داد که در همه ایستگاه‌های مورد مطالعه در مناطق کشت انگور در ایران، در همه فصول دمای کمینه هوا در دوره آینده نسبت به دوره پایه افزایش خواهد یافت. مقایسه ایستگاه‌ها نشان داد که، با توجه به شرایط محلی و مکانی

ایستگاه‌ها، بین ۰/۹-۰/۸ درجه سانتی‌گراد اختلاف در میزان افزایش دمای هوا در کل مناطق وجود دارد. در ایستگاه‌های مناطق خلی سرد و سردسیر مانند زنجان، تبریز، اهر، سراب، اردبیل، سقز، و شهرکرد افزایش دمای هوا در فصل زمستان بیشتر از دیگر فصول سال مشاهده می‌شود. البته، این میزان افزایش نسبت به دیگر ماههای سال ۰/۷-۰/۶ درجه سانتی‌گراد است (شکل ۲). در مناطق گرم و خشک و عرض‌های جنوبی‌تر با تابستان‌های گرم‌تر مانند ایستگاه‌های مشهد، تهران، یاسوج، دلاراب، اصفهان، فسا، لارستان، زاهدان، یزد، کرمان، بیرجند، و غیره میزان افزایش دمای کمینه در ماههای فصول تابستان و پاییز بیشتر از دیگر ماهها رخ خواهد داد. این افزایش دمای هوا با شدت و ضعف متفاوتی در هر دو سناریوی موردمطالعه برای دوره آینده نسبت به دوره پایه رخ خواهد داد. در هر دوره پایه رخ خواهد داد. بهطورکلی، در همه ایستگاه‌ها در دوره آینده افزایش دمای هوا نسبت به دوره پایه رخ خواهد داد. در هر دوره پایه رخ خواهد داد. بهطورکلی، در همه ایستگاه‌ها در دوره آینده افزایش دمای هوا نسبت به دوره پایه مشهود است. در ایستگاه‌های مناطق سردسیر؛ مناطق غرب، شمال غرب، و شمال شرق (مانند ایستگاه‌های اردبیل، اهر، تبریز، مشکین‌شهر، ارومیه، خوی، سقز، مراغه، بجنورد، قوچان، شاهروド، سراب، و مهاباد) و ایستگاه‌های نیمة غربی کشور (مانند سندچ، شهرکرد، خرم‌آباد، همدان، ملایر، نهاوند، یاسوج، بیجار، کنگاور، و فریدون‌شهر) زمستان‌های ملایم بیشتر رخ خواهد داد؛ هرچند در دیگر ماههای سال نیز افزایش دمای هوا کمینه وجود دارد، در این فصل بیشتر مشاهده می‌شود. در مناطق گرم و خشک، به‌دلیل شرایط اقلیمی آن مناطق، افزایش دمای ماههای گرم سال بیشتر از دیگر ماههای سال مشاهده می‌شود. شرایط محلی و شرایط اقلیمی هر یک از ایستگاه‌ها علت اصلی تفاوت در مقدار تغییرات دمایی دوره آینده نسبت به دوره پایه محسوب می‌شود.



شکل ۲. تغییرات میانگین دمای کمینه ماهانه در دوره آینده نسبت به دوره پایه در خط سیر واداشتی RCP8.5

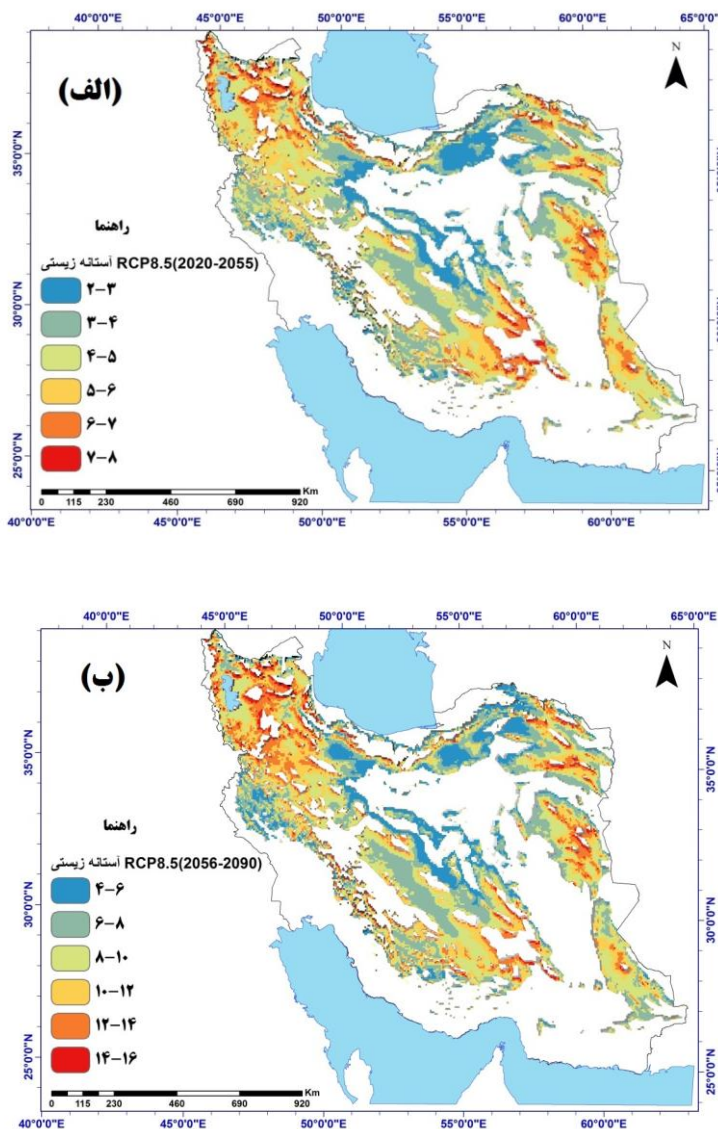


ادامه شکل ۲

تغییرات زمان رخداد مراحل فنولوژیکی درخت انگور در دوره آینده نسبت به دوره پایه
تغییرات زمان رخداد مراحل فنولوژیکی درختان میوه یکی از نشانه‌های عمدۀ برای سنجش اثرهای تغییر اقلیم در آینده به‌شمار می‌رود. در این راستا، با توجه به همپوشانی مراحل، این تغییرات برای مرحله فنولوژیکی آستانه زیستی برای شروع فصل رشد و نمو و مرحله گل‌دهی درختان انگور در مناطق کشت درخت انگور در ایران در دو خط سیر واداشتی RCP4.5 و RCP8.5 بروز است.

تغییرات زمان رخداد آستانه زیستی درخت انگور در دوره آینده نسبت به دوره پایه
نتایج تغییرات آستانه زیستی درخت انگور در دوره آینده نسبت به دوره پایه در خط سیر واداشتی RCP8.5 و RCP4.5 در شکل‌های ۳-الف و ۳-ب و ۴-ج و ۴-د مشخص شده است. بررسی‌ها نشان داد که در اثر افزایش دمای هوا و تغییر اقلیم دوره آینده زمان رخداد دمای زیستی درختان انگور زودتر رخ خواهد داد. درواقع، افزایش دمای هوا و ظهور زمستان‌های ملایم‌تر موجب ظهور زودهنگام این آستانه زیستی در اواخر زمستان و اوایل بهار خواهد شد. نتایج نشان داد که در الگوی واداشتی (شکل ۳-الف و ۳-ب) بیشترین تغییرات در زمان رخداد آستانه زیستی درختان انگور رخ خواهد داد. این شرایط در مناطق کشت درخت انگور در ایران در دوره آینده میانی تا ۸ روز و در آینده دور تا ۱۶ روز به جلو خواهد افتاد. درواقع، به ازای هر دهه ۴/۳ روز زمان رخداد آستانه زیستی زودتر تکمیل و ظاهر خواهد شد. به ازای هر ۰/۵ درجه افزایش دمای کمینه، ۲ روز زمان رخداد آستانه زیستی زودتر رخ خواهد داد. همان‌طورکه در شکل‌های ۳-الف و ۳-ب مشخص شده، در این الگوی واداشتی، بیشترین تغییرات در مناطق مرتفع مناطق کشت انگور رخ خواهد داد. نتایج مطالعات الیکادیک و همکاران (۲۰۱۹) نیز نشان داده که تغییرات پیش‌نگری شده برای مراحل فنولوژیکی در دوره آینده همسان و یکنواخت نخواهد بود و بیشترین اثرهای افزایش دمای هوا در مناطق مرتفع رخ خواهد داد. این مناطق در مناطق شمال شرقی، شمال غربی، غرب و نواحی از مرکز و شرق بیشتر مشاهده می‌شود. در دوره ۲۰۲۰-۲۰۵۵ میزان تغییرات آستانه زیستی انگور از ۲-۳ روز در نواحی کم‌ارتفاع حاشیه مناطق دشت‌های داخلی و کویری و مناطق کم‌ارتفاع جنوبی و شرقی تا ۸-۷ روز در مناطق مرتفع تغییر خواهد یافت (شکل ۳-الف). در دوره ۲۰۵۶-۲۰۹۰ میزان تغییرات از ۶-۴ روز در مناطق کم‌ارتفاع تا ۱۶-۱۴ روز در مناطق مرتفع متغیر خواهد بود (شکل ۳-ب). به‌طورکلی، از نواحی و مناطق کم‌ارتفاع به سمت مناطق مرتفع کشت انگور بر میزان تغییرات آستانه زیستی درخت انگور افزوده می‌شود. تغییرات کمتر در نواحی کم‌ارتفاع در حاشیه کویر و نواحی دشت‌های داخلی و جنوبی و جنوب شرقی مشاهده می‌شود. در دهه‌های آینده دورتر میزان تغییرات بیشتر مشاهده می‌شود.

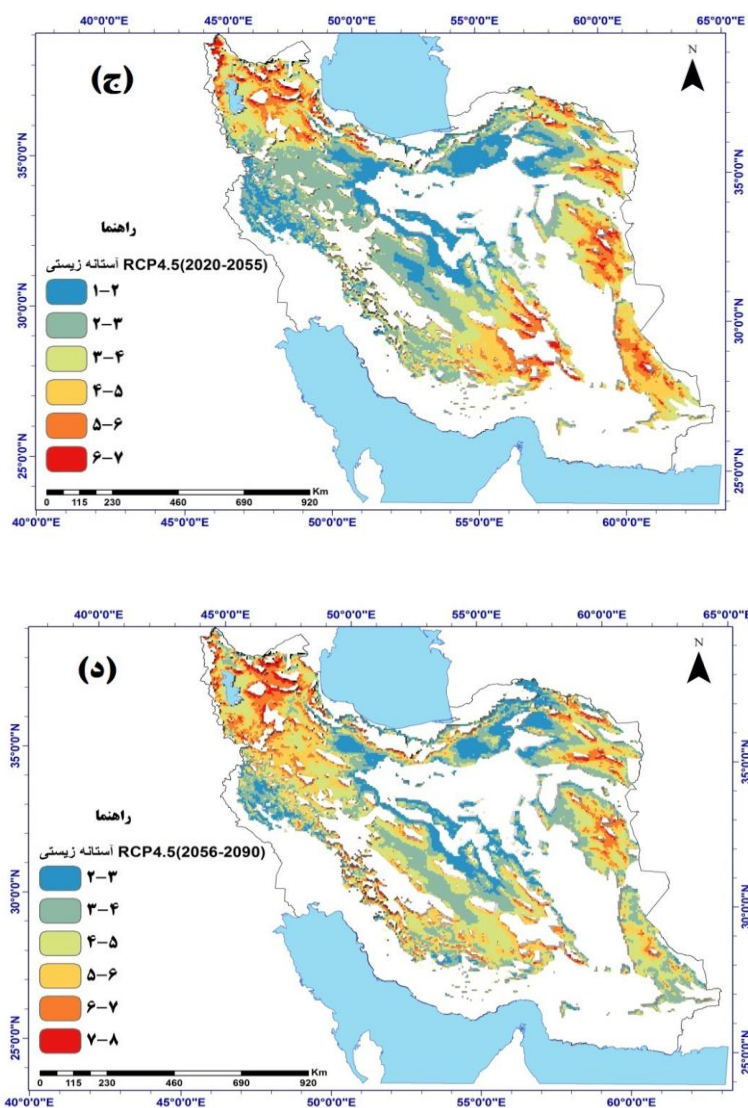
در خط سیر واداشتی RCP4.5 میزان تغییرات کمتر از الگوی بدینانه مشاهده شد. در این الگوی واداشتی نیز بیشترین تغییرات در عرض‌های بالا و مناطق سردسیر مشاهده می‌شود (شکل‌های ۴-ج و ۴-د). در این الگو در دوره آینده میانی و دور ۲۰۵۵-۲۰۲۰ و ۲۰۹۰-۲۰۵۶ آستانه زیستی به ترتیب ۶ و ۸ روز تغییر خواهد یافت که معادل ۱/۲ و ۲/۳ درجه سانتی‌گراد افزایش دمای هوا است. در این الگوی واداشتی نیز میزان تغییرات از نظر توزیع مکانی مشابه الگوی واداشتی فوق است، اما، با توجه به شرایط و ساختار این خط سیر واداشتی، میزان تغییرات اندک است و در شرایط حد وسط قرار دارد. هر گونه افزایش دمای هوا هرچند هم جزئی بر زمان رخداد آستانه زیستی درخت انگور تأثیر می‌گذارد. در خط سیر واداشتی RCP4.5 در دوره ۲۰۵۵-۲۰۲۰ میزان تغییرات از ۲-۱ روز در مناطق کم‌ارتفاع اندک است و در شرایط حد مرتفع رخ خواهد داد (شکل ۴-ج). در دوره آینده دورتر (۲۰۹۰-۲۰۵۶) میزان تغییرات از ۲-۳ روز در نواحی کم‌ارتفاع تا ۸ روز در نواحی مرتفع تغییر خواهد یافت (شکل ۴-د).



شکل ۳. پهنه‌بندی تغییرات تاریخ رخداد آستانه زیستی درخت انگور براساس الگوی RCP8.5 در دوره ۲۰۹۰-۲۰۲۰ نسبت به دوره پایه

بنابراین، تغییر زمان رخداد آستانه زیستی درختان انگور یکی از واکنش‌های عمده درختان میوه مانند انگور به اثرهای گرمایش جهانی و تغییرات اقلیمی در آینده خواهد بود. افزایش دمای هوا در دوره آینده، زمان رخداد آستانه زیستی به عنوان مبنای رشد رویشی و زایشی درختان انگور تا ۱۶ روز در الگوی بدینانه و تا ۸ روز در الگوی حد وسط را به جلو خواهد انداخت. همچنان، در شرایط تغییر اقلیم با توجه به تغییر زمان وقوع آستانه زیستی، طول دوره رشد کوتاه‌تر خواهد شد که این شرایط بر روی کیفیت میوه می‌تواند تأثیرگذار باشد. تغییر زمان رخداد آستانه زیستی درختان میوه و انگور در مناطق کشت یکسان نخواهد بود که این به شرایط توپوگرافیکی این مناطق در وهله اول بستگی دارد. نتایج مطالعات الیکادیک و همکاران (۲۰۱۹) نیز در این راستا نشان داده که بیشترین اثرهای افزایش دمای هوا در مناطق مرتفع آشکار خواهد شد و عامل ارتفاع موجب نایکنواختی تغییرات زمان رخداد مراحل فنولوژیکی دوره آینده خواهد شد. این شرایط

می‌تواند این درختان را در مراحل حساس فنولوژیکی مانند جوانهزنی و گل‌دهی در مصاف با سرماهای دیررس بهاره قرار بدهد. مطالعات موزدیل و همکاران (۲۰۱۵) نیز دال بر این یافته بوده است. آن‌ها در ارزیابی اثرهای تغییر اقلیم بر ریسک یخ‌بندان و شرایط گل‌دهی درخت انگور مشخص کردند که خطر یخ‌بندان‌های دیررس بهاره در شرایط تغییر اقلیم آینده بدلیل ظهور زودهنگام جوانهزنی انگور به دلیل گرمای انتهای فصل زمستان افزایش می‌یابد.



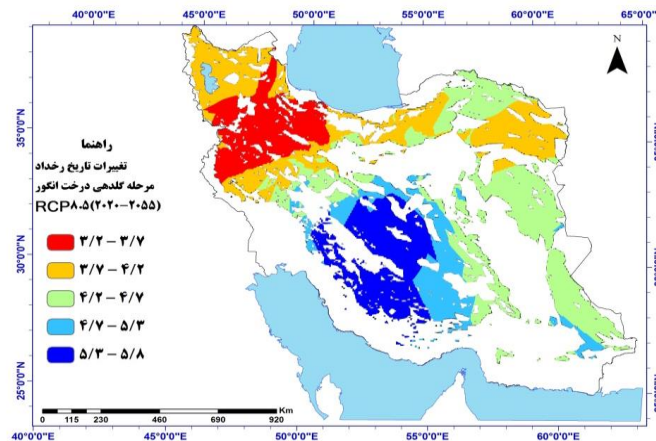
شکل ۴. پهنه‌بندی تغییرات تاریخ رخداد آستانه زیستی درخت انگور براساس الگوی RCP4.5 در دوره ۲۰۲۰-۲۰۹۰ نسبت به دوره پایه

تغییرات تاریخ رخداد مرحله فنولوژیکی گل‌دهی درخت انگور در آینده نسبت به دوره پایه نتایج تغییرات زمان رخداد مرحله فنولوژیکی گل‌دهی به عنوان یکی از مراحل فنولوژیکی حساس در الگوهای واداشتی مورد مطالعه بررسی شد. نتایج نشان داد که در الگوی واداشتی RCP8.5 در دوره آینده میانی و آینده دور-۲۰۲۰ و ۲۰۵۶ و ۲۰۹۰-۲۰۵۶ به ترتیب زمان رخداد این مرحله در درخت انگور در مناطق کشت آن در ایران ۶ و ۱۶ روز

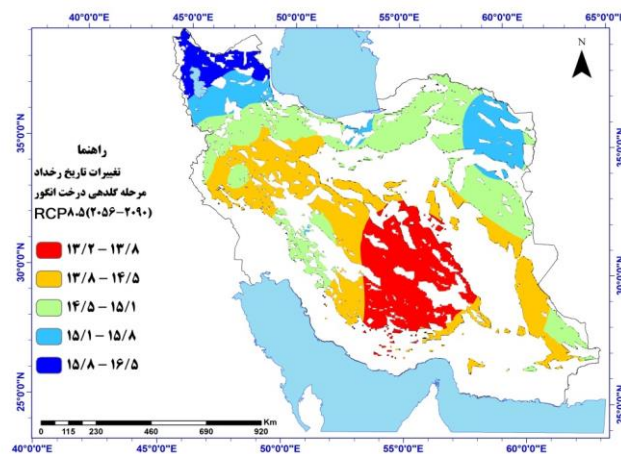
جلوته رخ خواهد داد. این تغییرات در زمان رخداد در کل مناطق کشت درخت انگور یکسان نخواهد بود و متناسب با شرایط اقلیمی و توپوگرافیکی تغییر در زمان رخداد متغیر خواهد بود. به طوری که در دوره آینده میانی زمان رخداد مرحله گُل‌دهی از ۳/۲ روز تا ۵/۸ روز متغیر خواهد بود (شکل ۵). در دوره حاضر زمان رخداد گُل‌دهی درخت انگور در مناطق کشت آن در ایران از اوایل تا اواسط خرداماه رخ می‌دهد. مطالعات رمیز و کارلال (۲۰۱۵) تغییر زمان رخداد مرحله فنولوژیکی گُل‌دهی برای درختان میوه خزان‌کننده از جمله انگور در تأیید این نتایج است. با هر گونه تغییر در وضعیت دمای هوای زمان مراحل فنولوژیکی نیز دست‌خوش تغییر می‌شود. به جز دوره میانی، که بیشترین تغییرات در نیمه جنوبی مناطق کشت درخت انگور رخ داده، در دوره آینده دور، عمدتاً تغییرات در مناطق عرض‌های بالا و مناطق مرتفع رخ خواهد داد. در دوره آینده دور، بیشترین تغییر در مناطق عرض‌های بالا در مناطق شمال غرب و شمال شرق رخ خواهد داد. درواقع، مناطق سردسیر از تغییرات بیشتری برخوردار خواهند بود. در دوره آینده دور از ۱۳/۲ تا ۱۶/۵ روز زمان رخداد مرحله فنولوژیکی گُل‌دهی تغییر خواهد یافت (شکل ۶). نتایج مطالعات الیکادیک و همکاران (۲۰۱۹) نشان داده که تسريع بیشتر در وضعیت فنولوژیکی درخت انگور بیشتر در واریته‌های کشت شده در مناطق مرتفع مشاهده خواهد شد. تغییر وضعیت مراحل فنولوژیکی درخت انگور در آینده براساس سناریوهای RCP4.5 و RCP8.5 در کشور اسپانیا توسط مطالعات راموس (۲۰۱۷) نیز تأیید شده است. وی مشخص کرده است که تغییرات فنولوژیکی بسته به واریته درخت انگور تقریباً متفاوت بوده و به طور متوسط در آینده دور تا ۱۶ روز زمان رخداد فنولوژی انگور از جمله گُل‌دهی تغییر خواهد کرد. هر چقدر به دهه‌های پایانی قرن حاضر پیش برویم، ظهور زودهنگام مراحل فنولوژیکی از جمله گُل‌دهی زودتر رخ خواهد داد.

مطالعات احمدی (۱۳۹۶) بر روی درخت سیب مovid این مطلب است که تغییر زمان رخداد مرحله فنولوژیکی گُل‌دهی، رخ خواهد داد. در آن مطالعه مشخص شده که زمان رخداد مرحله فنولوژیکی درخت سیب در شرایط تغییر اقلیم آینده نسبت به دوره پایه ۷ و ۱۵ روز زودتر تکمیل خواهد شد. در مطالعات حیدری بنی و همکاران (۱۳۹۷) بر روی اثرهای تغییر اقلیم بر مراحل فنولوژیکی گیاه کلزا نیز تغییر و کاهش زمان رخداد مرحله فنولوژیکی کلزا تأیید شده است. آن‌ها مشخص کردند که بیشترین میزان کاهش در دوره گُل‌دهی کلزا، درواقع، ظهور زودهنگام با سناریوی RCP8.5 دیده می‌شود. مطالعات هیدالگو- گالوز و همکاران (۲۰۱۸) بر روی تغییر وضعیت مرحله فنولوژیکی گُل‌دهی بهاره در اسپانیا نیز نشان داده که زمان گُل‌دهی جلوته رخ می‌دهد. همچنین، با مطالعات الیکادیک و همکاران (۲۰۱۹) درمورد اثرهای تغییر اقلیم بر وضعیت فنولوژی انگور هم‌خوانی دارد. مطالعات آن‌ها نشان داده که تغییر اقلیم آینده موجب ظهور زودهنگام مراحل فنولوژی درخت انگور می‌شود.

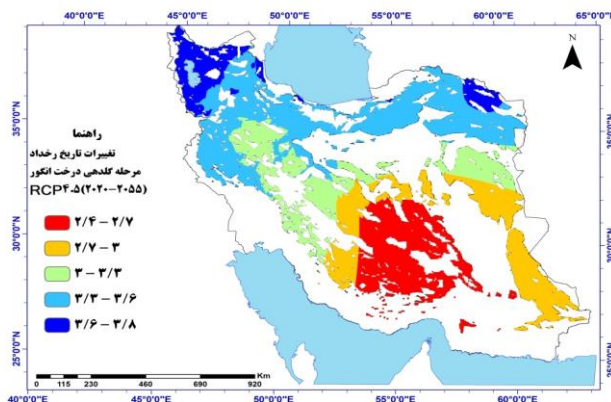
در الگوی واداشتی RCP4.5 بیشترین تغییرات در دوره آینده دور (۲۰۹۰-۲۰۵۶) رخ خواهد داد (شکل‌های ۷ و ۸). در این الگوی واداشتی در دوره آینده میانی زمان رخداد مرحله فنولوژیکی گُل‌دهی ۲/۴ تا ۳/۸ روز به جلو خواهد افتاد (شکل ۷). کمترین تغییرات در نیمه جنوبی و بالاترین تغییرات نیز در نیمه شمالی رخ خواهد داد. در دوره آینده دور (۲۰۹۰-۲۰۵۶) متناسب با شرایط اقلیمی و توپوگرافیکی زمان رخداد گُل‌دهی از ۴/۲ تا ۶/۷ روز متغیر خواهد بود (شکل ۸). به طور کلی، براساس این الگوی واداشتی، زمان رخداد گُل‌دهی تا اواخر قرن حاضر تا ۷ روز به جلو خواهد افتاد. از نظر توزیع مکانی بیشترین تغییرات در مناطق شمال غرب و شمال شرق رخ خواهد داد.



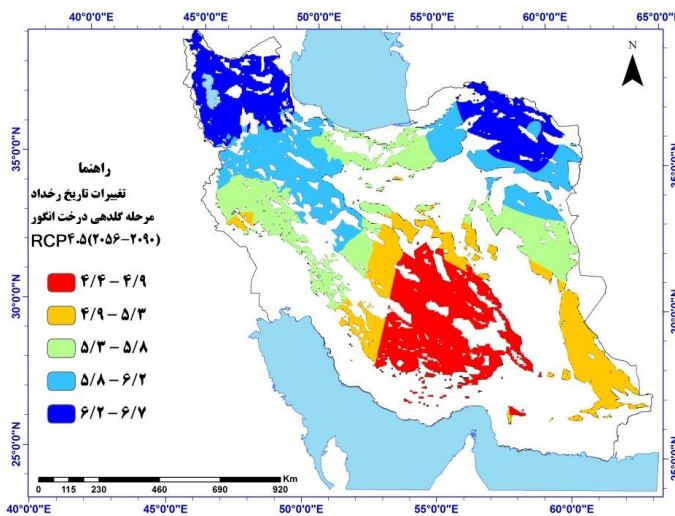
شکل ۵. پهنه‌بندی تغییرات تاریخ رخداد مرحله فنولوژیکی گل‌دهی درخت انگور براساس الگوی RCP8.5 در دوره ۲۰۵۵-۲۰۶۰ نسبت به دوره پایه



شکل ۶. پهنه‌بندی تغییرات تاریخ رخداد مرحله فنولوژیکی گل‌دهی درخت انگور براساس الگوی RCP8.5 در دوره ۲۰۹۰-۲۰۵۶ نسبت به دوره پایه



شکل ۷. پهنه‌بندی تغییرات تاریخ رخداد مرحله فنولوژیکی گل‌دهی درخت انگور براساس الگوی RCP4.5 در دوره ۲۰۵۵-۲۰۶۰ نسبت به دوره پایه



شکل ۸. پنهانه‌بندی تغییرات تاریخ رخداد مرحله فنولوژیکی گل‌دهی درخت انگور براساس الگوی RCP4.5 در دوره ۲۰۹۰-۲۰۵۶ نسبت به دوره پایه

نتایج نهایی این بخش نشان داد که در دوره آینده میانی و دور، میزان تغییرات زمان رخداد مرحله فنولوژیکی گل‌دهی درختان میوه نیز بیشتر خواهد شد. تغییر در زمان وقوع مرحله فنولوژیکی گل‌دهی در مناطق سردسیریتر بیشتر از مناطق گرم و نسبتاً گرمتر عرض‌های جنوبی مناطق کشت انگور خواهد بود. با استناد به یافته‌های تحقیق حاضر، می‌توان بیان کرد که یکی از اثرهای تغییر اقلیم بر درختان میوه به صورت تغییر زمان رخداد مراحل فنولوژیکی درختان میوه ظاهر خواهد شد. درختان میوه با گرمشدن دمای هوا در انتهای زمستان زودتر از دوره رکود یا خواب خارج و وارد مرحله رشد رویشی و زایشی خواهد شد؛ این شرایط می‌تواند با ریسک مخاطره سرما و یخنیان زمستانه و دیررس بهاره همراه باشد. هر قدر زمان رخداد مرحله گل‌دهی درختان میوه به عنوان اقتصادی‌ترین مرحله فنولوژیکی این درختان زودتر رخ بددهد مواجه شدن با سرما و یخنیان انتهای فصل سرد و اوایل بهار بیشتر خواهد بود. بنابراین، اتخاذ برنامه‌های سازگارانه برای زیربخش باگبانی در بیشتر میوه‌ها حائز اهمیت است.

نتیجه‌گیری

مطالعه حاضر با هدف آشکارسازی اثرهای تغییر اقلیم بر زمان رخداد مرحله فنولوژیکی گل‌دهی درخت انگور در ایران بر اساس سناریوهای وداداشت تابشی RCP بررسی شد. نتایج نشان داد که براساس روش وزن‌دهی و اعمال شاخص‌های آماری بر برونداد مدل‌های CMIP5، برونداد مدل گردش کلی مدل MRI.CGCM3 در تصویرسازی تغییر اقلیم دوره آینده از توانایی و خطای شبیه‌سازی کمتری نسبت به دوره مشاهده‌ای یا دوره پایه برخوردار است. درواقع، براساس معیارهای ارزیابی یا سنجه‌های خطاسنجی، مدل مذکور انطباق بیشتری با داده‌های مشاهداتی نشان می‌دهد. عموماً مدل‌های گردش کلی در شبیه‌سازی یا تصویرسازی پارامتر دمای هوا از توانمندی بیشتری نسبت به بارش برخوردارند. نتایج برونداد مدل‌ها نشان داد که دمای هوا در دوره آینده نسبت به دوره پایه افزایش خواهد یافت. نتایج نشان داد که در بدینانه‌ترین حالت در دوره آینده میانی و دور بهترتبی ۱/۶ و ۴/۲ درجه سانتی‌گراد دمای کمینه نسبت به دوره پایه افزایش خواهد یافت. نتایج نشان داد که بیشترین تغییرات در زمان رخداد مراحل فنولوژیکی در مناطق سردسیر و

عرض‌های بالای مناطق کشت درخت انگور رخ خواهد داد. با توجه به افزایش دمای هوا در دوره آینده، زمان رخداد مراحل فنولوژیکی درخت انگور نیز تغییر خواهد یافت. در اثر افزایش دمای هوای دوره آینده، زمان رخداد آستانه زیستی جلوتر رخ خواهد داد و در نتیجه دوره رویشی و زایشی درخت انگور نیز زودتر از دوره گذشته آغاز خواهد شد. به طوری که در الگوی واداشتی بدینانه، زمان آستانه زیستی در آینده میانی و دور ۸ تا ۱۶ روز و زمان گل‌دهی نیز ۷ روز تا ۱۶ روز، زمان رخداد آن‌ها جلوتر رخ خواهد داد. زمان تکمیل مرحله فنولوژیکی گل‌دهی درخت انگور به عنوان مبنای مراحل فنولوژیکی دوره رشد درخت انگور در دوره آینده زوتراز دوره گذشته شکل خواهد گرفت. بنابراین، یکی از اثرهای عمده تغییر اقلیم بر درختان میوه به صورت تغییر زمان رخداد مرحله فنولوژیکی گل‌دهی ظهور خواهد کرد. تغییر و جابه‌جایی زمان رخداد آستانه زیستی درخت انگور موجب ریسک خطرهای احتمالی سرما و بخندان‌های دیررس در بیشتر مناطق کشت درخت انگور به خصوص نیمه شمالی را افزایش می‌دهد. انتخاب گونه‌ها و واریته‌های مقاوم و سازگار با شرایط اقلیمی هر منطقه حائز اهمیت است.

نتایج مطالعه حاضر از نظر تغییر زمان رخداد مرحله فنولوژیکی گل‌دهی بر اثر تغییر اقلیم دوره آینده نسبت به دوره پاییه در تأیید مطالعات احمدی (۱۳۹۶)، ونگ و همکاران (۲۰۱۵)، راموس (۲۰۱۷)، و الکادلیک و همکاران (۲۰۱۹) است. همچنین، از نظر توانمندی مدل‌های CMIP5 و پایگاه داده جهانی MarkSimGCM و همچنین افزایش دمای هوا تا ۴/۲ درجه سانتی‌گراد تا افق ۲۰۹۰ در آینده در الگوی بدینانه براساس مدل‌های CMIP5 در تأیید مطالعات احمدی و همکاران (۱۳۹۷) است.

منابع

- احمدی، ح. (۱۳۹۶). بررسی اثرات تغییر اقلیم بر روی درخت سیب در ایران، پایان نامه دکتری، دانشکده جغرافیا و علوم محیطی، گروه آب و هواشناسی، دانشگاه حکیم سبزواری، سبزوار.
- احمدی، ح؛ فلاح قاله‌ری، غ. و باعیدیه، م. (۱۳۹۸). پیش‌نگری اثرات تغییر اقلیم بر باشندگان مناطق سردسیر ایران براساس سناریوهای واداشت تابشی (RCP)، نشریه فیزیک زمین و فضا، ۱(۱): ۱۷۷-۱۹۶.
- احمدی، ح؛ فلاح قاله‌ری، غ؛ باعیدیه، م. و امیری، م. (۱۳۹۷). بررسی اثرات تغییر اقلیم بر الگوی انباست گرمایی مناطق کشت درخت سیب در ایران، نشریه تحلیل فضایی مخاطرات محیطی، ۵(۲): ۳۵-۵۴.
- احمدی، ک؛ قلیزاده، ح؛ عبادزاده، ح؛ حاتمی، ف؛ حسین‌پور، ر؛ کاظمی‌فرد، ر. و عیدشاه، ه. (۱۳۹۵). آمارنامه کشاورزی، سال زراعی ۱۳۹۳-۱۳۹۴، ج ۳: محصولات باغبانی، وزارت جهاد کشاورزی، معاونت برنامه‌ریزی و اقتصادی، مرکز فناوری اطلاعات و ارتباطات، ص ۱-۲۰.
- بابائیان، ا. و کوهی، م. (۱۳۹۱). ارزیابی شاخص‌های اقلیم کشاورزی تحت سناریوهای تغییر اقلیم در ایستگاه‌های منتخب خراسان رضوی، نشریه آب و خاک (علوم و صنایع کشاورزی)، ۲۶(۴): ۹۵۳-۹۶۷.
- تیرگفارخری، ف؛ علیجانی، ب؛ ضیاییان فیروزاندی، پ. و اکبری، م. (۱۳۹۶). شبیه‌سازی رواناب ناشی از ذوب برف تحت سناریوهای تغییر اقلیمی در حوضه ارمند، اکوهیدرولوژی، ۴(۲): ۳۵۷-۳۶۸.
- خوشخوی، م؛ شیبانی، ب؛ روحانی، ا. و تفضلی، ع. (۱۳۸۷). اصول باغبانی، ج ۱۷، شیراز؛ انتشارات دانشگاه شیراز.
- حیدری بنی، م؛ بیزان پناه، ح. و محنت‌کش، ع. (۱۳۹۷). بررسی اثرات تغییر اقلیم بر عملکرد و مراحل فنولوژیکی کلزا (مطالعه موردی: استان چهارمحال و بختیاری)، پژوهش‌های جغرافیای طبیعی، ۵۰(۲): ۳۷۳-۳۸۹.
- زرین، م. و فراهانی، ح.ر. (۱۳۹۴). راهنمای جامع و کاربردی باغبانی، تهران؛ انتشارات آموزش فنی و حرفه‌ای مزرعه زرین.
- صمدی یزدی، ب. (۱۳۹۶). کاربرد فناوری‌های آینده‌نگر در تأمین امنیت غذایی در ایران و جهان، مجله پژوهش‌های راهبردی در علوم کشاورزی و منابع طبیعی، ۱۲(۱): ۱۵-۲۸.
- فلاح قاله‌ری، غ. و احمدی، ح. (۱۳۹۶). بررسی روند تغییرات نیازهای سرمایه‌ی و طول مراحل فنولوژیک درخت سیب (مطالعه موردی: منطقه کرج)، نشریه هواشناسی کشاورزی، ۵(۱): ۵۷-۷۰.
- قهorman، ن؛ بابائیان، ا. و طباطبایی، س.م. (۱۳۹۵). بررسی اثرات تغییر اقلیم بر نیاز آبی و طول دوره رشد گیاه نیشکر تحت سناریوهای واداشت تابشی، نشریه حفاظت منابع آب و خاک، ۶(۱): ۵۶۳-۷۳.
- یعقوب‌زاده، م؛ احمدی، م؛ برومدن‌نسب، س. و حقایقی مقدم، س. (۱۳۹۵). اثر تغییر اقلیم بر روند تغییرات تبخیر-تعرق در طی دوره رشد گیاهان مزارع آبی و دیم با استفاده از مدل‌های جفت‌شده، نشریه پژوهش آب در کشاورزی، ۴۰(۴): ۵۱۲-۵۳۲.
- Ahmadi, H. (2017). *Investigating the effects of climate change on apple tree in Iran*, PhD thesis, Faculty of Geography and Environmental Sciences, Department of Climatology, Hakim Sabzevari University. Sabzevar.
- Ahmadi, H.; Fallah Ghalhari, GH. and Baaghdeh, M. (2019). Projection of Climate Change Impacts on Seasonal Precipitation in Iranian Cold Regions Based on Radiative Forcing Scenarios (RCP), *Journal of the Earth and Space Physics*, 45(1): 196-177.
- Ahmadi, H.; Fallah Ghalhari, GH.; Baaghdeh, M. and Amiri, M.A. (2018). Investigating the effects of climate change on the heat accumulation pattern of Apple tree cultivations in Iran, *Journal of Environmental Hazards Spatial Analysis*, 5(2): 54-35.

- Ahmadi, K.; Gholizadeh, H.; Ebadzadeh, H.; Hatami, F.; Hosseinpour, R.; Kazemi Fard, R. and Abdeshah, H. (2016). *Statistics of Agricultural Letter, Crop Year 2014-2015, Horticultural Products, Ministry of Agricultural Jihad*, Deputy of Planning and Economics, Information and Communication Technology Center. pp. 1-20.
- Alikadic, A.; Pertot, I.; Eccel, E.; Dolci, C.; Zarbo, C.; Caffarra, A. and Furlanello, C. (2019). The impact of climate change on grapevine phenology and the influence of altitude: A regional study, *Agricultural and forest meteorology*, 271: 73-82.
- Babaian, A. and Koohi, M. (2012). Evaluation of Agricultural Climate Indicators under Climate Change Scenarios in Selected Stations in Khorasan Razavi, *Water and Soil Journal (Agricultural Sciences and Technology)*, 26(4): 967-953.
- Fallah Ghahari, GH. and Ahmadi, H. (2017). Trend analysis of phenological stages length and chilling requirements of apple tree (Case study: Karaj station), *Journal of Agricultural Meteorology*, 5(1): 57-70.
- Georgopoulou, E.; Mirasgedis, S.; Sarafidis, Y.; Vitaliotou, M.; Lalas, D.P.; Theloudis, I. and Zavras, V. (2017). Climate change impacts and adaptation options for the Greek agriculture in 2021–2050: A monetary assessment, *Climate Risk Management*, 16: 164-182.
- Ghahraman, N.; Babayan, A. and Tabatabaei, S.M. (2016). Investigating the effects of climate change on water requirement and growth period of cane sugar under radiation induced scenarios, *Journal of Water and Soil Conservation*, 6(1): 73-63.
- Grab, S. and Craparo, A. (2011). Advance of apple and pear tree full bloom dates in response to climate change in the southwestern Cape, South Africa: 1973–2009. *Agricultural and Forest Meteorology*, 151: 406-413.
- Heydari Bani, MH.; Yazdanpanah, MH. and Mohendkash, AS A. (2018). Investigation of Climate Change Effects on Yield and Phenological Stages of Rapeseed (Case Study: Chaharmahal and Bakhtiari Province). *Physical Geography Researches*, 50(2): 389-373.
- Hidalgo-Galvez, M.D.; García-Mozo, H.; Oteros, J.; Mestre, A.; Botey, R. and Galán, C. (2018). Phenological behaviour of early spring flowering trees in Spain in response to recent climate changes, *Theoretical and applied climatology*, 132(1-2): 263-273.
- IPCC (2014). Summary for policymakers. In: *Ipcc. Climate change, impact, adaptation and vulnerability*. Contribution of working group 2 to the Fifth Assessment Report of the Intergovernment Panel of Climate Change, pp. 132. Cambridge, UK and New York, USA, Cambridge University Press.
- Jones, P.G. and Thornton, P.K. (2013). Generating downscaled weather data from a suite of climate models for agricultural modelling applications, *Agricultural Systems*, 114: 1-5.
- Khoshkhooy, M.; Shibani, B.; Rouhani, A. and Tafazli, A.S. (2008). *Principles of gardening*, Shiraz University Press, Seventh Edition, Shiraz.
- Machovina, B. and Feeley, K.J. (2013). Climate change driven shifts in the extent and location of areas suitable for export banana production. *Ecological Economics*, 95: 3-95.
- Mosedale, JR.; Wilson, RJ. and Maclean, IMD. (2015). Climate Change and Crop Exposure to Adverse Weather: Changes to Frost Risk and Grapevine Flowering Conditions, *PLoS ONE* 10(10): e0141218. doi:10.1371/journal.pone.0141218.
- Nouri, M.; Homaei, M.; Bannayan, M. and Hoogenboom, G. (2017). Towards shifting planting date as an adaptation practice for rainfed wheat response to climate change, *Agricultural Water Management*, 186: 108-119.

- Parker, L.E. and Abatzoglou, J.T. (2018). Shifts in the thermal niche of almond under climate change, *Climate Change*, 147: 211-224.
- Ramirez, F. and Kallarackal, J. (2015). *Responses of fruit trees to the global climate change*, Springer Cham Heidelberg New York, Dordrecht London. ISBN. 978-3-319-14199-2.
- Ramos, M.C. (2017). Projection of phenology response to climate change in rainfed vineyards in north-east Spain, *Agricultural and forest meteorology*, 247: 104-115.
- Samadi Yazdi, B. (2017). Application of Prospective Technologies in Food Security in Iran and the World, *Journal of Strategic Research in Agricultural Science and Natural Resources*, 2(1): 28-15.
- Sapkota, T.B.; Vetter, S.H.; Jata, M.L.; Sirohi, S.; Shirsathd, P.B.; Singhe, R.; Jatf, H.S.; Smithb, P.; Hillierg, J. and Stirling, C.M. (2019). *Science of the Total Environment*, 655:1342-1354.
- Sapkota, T.B., Vetter S.H., Jat, M.L., Sirohi, S., Shirsath, p.B., Singh, R., Jat, H.S., Smit, P., Hillier, j. & Stirling, C.M.(2019). Cost-effective opportunities for climate change mitigation in Indian agriculture. *Science of the Total Environment*, 655:1342-1354.
- Shrestha, S.; Bach, T.V. and Pandey, V.P. (2015). Climate change impacts on groundwater resources in Mekong Delta under representative concentration pathways (RCPs) scenarios, *Environmental Science & Policy*, 61: 1-13.
- Smith, P.; Bustamante, M.; Ahammad, H.; Clark, H.; Dong, H.; Elsiddig, E.A.; Haberl, H.; Harper, R.; House, J.; Jafari, M.; Masera, O.; Mbow, C.; Ravindranath, N.H.; Rice, C.W.; Robledo Abad, C.; Romanovskaya, A.; Sperling, F. and Tubiello, F. (2014). Agriculture, forestry and other land use (AFOLU). In: Edenhofer, O., PichsMadruga, R., Sokona, Y., Farahani, E., Kander, S., Seyboth, K. (Eds.), *Climate Change 2014: Mitigation of Climate Change, Contribution of Working Group III to the Fifth Assessment Report of the Intergovernmental Panel on Climate Change*, Cambridge University Press, Cambridge, United Kingdom and New York, NY, USA.
- Tirgar Fakhri, F.; Alijani, B.; Ziaeian Firouzabadi, P. and Akbari, M. (2017). Simulation of Snow Melt Runoff under Climate Change Scenarios in Armand Basin, *Ecohydrology*, 4(2): 368-357.
- Wang, B.; Liu, D.L.; Asseng, S.; Macadam, I. and Yu, Q. (2015). Impact of climate change on wheat flowering time in eastern Australia. *Agriculture and forest Meteorology*, 210: 11-21.
- Wang, H.; Ge., Q.; Dai, J. and Tao, Z. (2015). Geographical pattern in first bloom variability and its relation to temperature sensitivity in the USA and China. *Int J Biometeorology*, 59: 961-969.
- Yaqoubzadeh, M.; Ahmadi, M.; Boroumand Nasab, S. and Fatemeh Moghaddam, S.U. (2016). The Effect of climate change on evapotranspiration change during growth of plants in hydroponic and dryland plants using paired models, *Journal of Water Research in Agriculture*, 30(4): 523-512.
- Zarrin, M. and Farahani, H.R. (2015). *Comprehensive and Applied Gardening Guide*, Publications of Technical and Vocational Education of Zarrin Farm, First Printing, Tehran.
- Zhao, L.; Xu, J.; Powell, A.M. and Jiang, Z. (2015). Uncertainties of the global-to-regional temperature and precipitation simulations in CMIP5 models for past and future 100 years, *Theoretical and Applied Climatology*, 122: 259-270.